

FAKULTA INFORMAČNÍCH TECHNOLOGIÍ

PARALELNÍ ARCHITEKTURY POČÍTAČŮ

TECHNICKÁ ZPRÁVA

---

# Hledání nejkratších cest v grafu

---

*Autoři:*

Vojtěch MYSLIVEC

Zdeněk NOVÝ

15. dubna 2015



---

# Abstrakt

Účelem této práce je sumarizovat výsledky měření řešení problému hledání nejkratších cest v grafu (NCG). Práce se zaměřuje na řešení problému Dijkstrovým a Floyd-Warshallovým algoritmem a porovnání sekvenční a několika paralelních implementací.

**Klíčová slova** Dijkstra, Floyd, Warshall, nejkratší cesty, NCG, OpenMP, Cuda

# Obsah

<b>1</b>	<b>Úvod</b>	<b>2</b>
<b>2</b>	<b>Hledání nejkratších cest v grafu</b>	<b>3</b>
2.1	Definice . . . . .	3
2.2	Algoritmy . . . . .	3
2.2.1	Dijkstrův algoritmus . . . . .	3
2.2.2	Floyd-Warshallův algoritmus . . . . .	3
<b>3</b>	<b>Sekvenční algoritmus</b>	<b>4</b>
3.1	Společná implementace . . . . .	4
3.2	Dijkstrův algoritmus . . . . .	4
3.2.1	Dijkstrův algoritmus z jednoho zdroje . . . . .	4
3.3	Floyd-Warshallův algoritmus . . . . .	4
3.4	Implementace . . . . .	5
<b>4</b>	<b>Paralelní algoritmus pomocí knihovny OpenMP</b>	<b>5</b>
4.1	Dijkstrův algoritmus . . . . .	5
4.1.1	Paměťové struktury . . . . .	5
4.1.2	Úprava algoritmu . . . . .	5
4.1.3	Vektorizace . . . . .	5
4.2	Floyd-Warshallův algoritmus . . . . .	7
4.2.1	První varianta . . . . .	7
4.2.2	Druhá varianta . . . . .	7
4.2.3	Vektorizace . . . . .	8
4.3	Měření . . . . .	8
4.3.1	Testovací data . . . . .	8
4.3.2	Výsledky . . . . .	9
4.3.3	Analýza . . . . .	11
4.3.4	Zhodnocení . . . . .	12

## 1 Úvod

Tato práce se zabývá implementací dvou algoritmů hledání nejkratších cest v grafu. Jedná se o implementaci sekvenčním algoritmem, který je poté paralelizován pro procesor a pro grafickou kartu. Pro jednotlivé algoritmy je

provedeno měření, které si klade za cíl určit zrychlení paralelních algoritmů proti sekvenčnímu.

## 2 Hledání nejkratších cest v grafu

### 2.1 Definice

Hledání nejkratších cest v grafu je NP-úplná grafová úloha, jejímž cílem je nalézt v zadaném grafu nejkratší cesty mezi všemi možnými dvojicemi uzlů A a B [6].

### 2.2 Algoritmy

#### 2.2.1 Dijkstrův algoritmus

Dijkstrův algoritmus slouží k nalezení všech nejkratších cest ze zadaného uzlu do všech ostatních uzlů grafu. Graf nesmí obsahovat hrany se zápornou délkou [4].

**Princip** Dijkstrův algoritmus je zobecněné prohledávání grafu do šířky, při kterém se vlna šíří na základě vzdálenosti od zdrojového uzlu. K uchovávání uzlů slouží prioritní fronta, která je řazena podle vzrůstající vzdálenosti od zdroje. V každém kroku algoritmu je vybrán uzel s nejmenší vzdáleností a pro každého souseda je vypočítána jeho vzdálenost od zdrojového uzlu [4].

#### 2.2.2 Floyd-Warshallův algoritmus

Floyd-Warshallův algoritmus slouží k nalezení nejkratších cest mezi všemi dvojicemi uzlů v grafu. Graf může obsahovat hrany, ale nikoliv cykly, záporné délky [5].

**Princip** Floyd-Warshallův algoritmus pracuje s maticí sousednosti, kde hrana je ohodnocena vahou. Na počátku tato matice obsahuje pouze vzdálenosti dvou uzlů, mezi kterými je vedena hrana. V každém kroku je vybrán jeden uzel jako prostředník. Prvek matice sousednosti se přepočítá, pokud je vzdálenost z počátečního do koncového uzlu kratší přes nového prostředníka než bez něj [5].

## 3 Sekvenční algoritmus

### 3.1 Společná implementace

Oba algoritmy vycházejí z obecného principu, který je popsán v kapitole 2.2.2. Algoritmy pracují s grafem, který je programu předložen jako soubor, ve kterém je graf ve formě matice sousednosti. Společnou částí je tedy načítání vstupu a jeho kontrola.

### 3.2 Dijkstrův algoritmus

Protože Dijkstrův algoritmus slouží k hledání nejkratších cest od jednoho zdrojového uzlu, je nutné jej spouštět pro každý uzel grafu. To zajišťuje funkce *dijkstraNtoN*.

#### 3.2.1 Dijkstrův algoritmus z jednoho zdroje

Pro výpočet Dijkstrova algoritmu z jednoho zdrojového uzlu se alokují tři pole o velikosti počtu uzlů. V jednom je uložena vzdálenost daného uzlu od zdrojového, ve druhém předchozí uzel v nalezené nejkratší cestě. Třetí pole určuje, jestli je už uzel uzavřený pro výpočty.

Algoritmus prochází postupně, podle nejmenší vzdálenosti, všechny uzly, které se nacházejí v prioritní frontě. Z daného uzlu vypočítá pro každého svého souseda novou cestu, která by vedla přes uzel samotný a porovná ji s dosavadní vzdáleností souseda. Menší vzdálenost je zapsána do pole vzdáleností a algoritmus pokračuje.

**Prioritní fronta** Za účelem prioritní fronty byla implementována binární halda, kde složitost výběru minima je logaritmická, oproti nativní implementaci pomocí pole, kde je složitost výběru minima lineární.

### 3.3 Floyd-Warshallův algoritmus

Floyd-Warshallův algoritmus obsahuje tři vnořené for cykly a funguje na principu popsaném v 2.2.2. Jako datové struktury používá čtyři pole o velikosti počtu uzlů. Pro každý uzel si algoritmus udržuje aktuální vzdálenosti ke všem uzlům a navíc vzdálenosti z předchozí iterace. Další dvě pole obsahují předchozí uzel v nalezené cestě.

### 3.4 Implementace

Aktuální implementace je k nahlédnutí i ke stažení na adrese <https://github.com/VojtechMyslivec/PAP-NCG>. Sekvenční algoritmus se nachází ve složce *01\_sekvencni*.

## 4 Paralelní algoritmus pomocí knihovny OpenMP

### 4.1 Dijkstrův algoritmus

Paralelizace algoritmu spočívá v paralelizaci cyklu, který prochází jednotlivé uzly a pro ně řeší problém hledání nejkratší cesty v grafu z jednoho počátečního uzlu. Každé vlákno tedy zpracovává jeden uzel jako počáteční a z něj hledá nejkratší cesty do všech ostatních uzlů.

#### 4.1.1 Paměťové struktury

Každé vlákno dostane ukazatel na strukturu grafu. Protože všechna vlákna používají strukturu grafu pouze ke čtení, nedochází při přístupu k této struktuře k žádným problémům.

Každé vlákno si vytvoří jeden objekt, ve kterém si alokuje vlastní pole vzdáleností a předchůdců, které používá pro své výpočty. Tyto struktury jsou po ukončení funkce vlákna dealokovány společně s objektem.

#### 4.1.2 Úprava algoritmu

Z důvodu paralelizace algoritmu bylo nutné upravit použitou prioritní frontu. V sekvenčním řešení byla použita implementace pomocí binární haldy 3.2.1. Z důvodu paralelizace výběru minima z fronty je pro paralelní řešení výhodnější použít implementaci polem.

#### 4.1.3 Vektorizace

Pomocí přepínačů optimalizace *-O3* a podpory vektorových sad *-msse4.2* kompilátoru *gcc* byla zapnuta podpora vektorizace cyklů [3]. Pro záznam o pokusech vektorizace byl použit přepínač *-ftree-vectorizer-verbose=n*, kde za *n* byly dosazeny 1, 3, 5, kde čím vyšší číslo, tím podrobnější informace [3].

Obrázek 1: Úspěšně vektorizovaný cyklus.

dijkstra.cpp:38: note: LOOP VECTORIZED.

dijkstra.cpp:28: note: vectorized 1 loops in function.

```
for ( unsigned j = 0; j < pocetUzlu; j++ ) {  
    vzdalenostM[i][j] = DIJKSTRA_NEKONECNO;  
    predchudceM[i][j] = DIJKSTRA_NEDEFINOVANO;  
}
```

dijkstra.cpp:99: note: not vectorized: number of iterations cannot be co

dijkstra.cpp:99: note: bad loop form.

dijkstra.cpp:82: note: vectorized 0 loops in function.

Obrázek 2: Cyklus, který se nepodařilo vektorizovat.

dijkstra.cpp:99: note: not vectorized: number of iterations cannot be co

dijkstra.cpp:99: note: bad loop form.

dijkstra.cpp:82: note: vectorized 0 loops in function.

```
for ( unsigned i~= 0 ; i~< pocetUzlu ; i++ ) {  
    vzdalenostM[idUzlu][i] = vzdalenost[i];  
    predchudceM[idUzlu][i] = predchudce[i];  
}
```

Obrázek 3: Upravený cyklus, aby mohl být vektorizován.

```
Vectorizing loop at dijkstra.cpp:99
dijkstra.cpp:99: note: LOOP VECTORIZED.
dijkstra.cpp:82: note: vectorized 1 loops in function.
```

```
unsigned tmp = pocetUzlu;
for ( unsigned i~ = 0 ; i~ < tmp ; i++ ) {
    vzdalenostM[idUzlu][i] = vzdalenost[i];
    predchudceM[idUzlu][i] = predchudce[i];
}
```

**Původní stav** Na obrázcích 1 a 2 je znázorněn příklad jednoho cyklu, který je byl vektorizován a druhý cyklus, který se nepodařilo vektorizovat z důvodu nespočitatelného počtu iterací.

**Optimalizace** Výpis 3 dokazuje úspěšnou úpravu cyklu, který se, díky malé změně zdrojového kódu, podařilo vektorizovat.

## 4.2 Floyd-Warshallův algoritmus

Díky třem vnořeným sekvenčnímu algoritmu existuje několik možností, jak algoritmus paralelizovat.

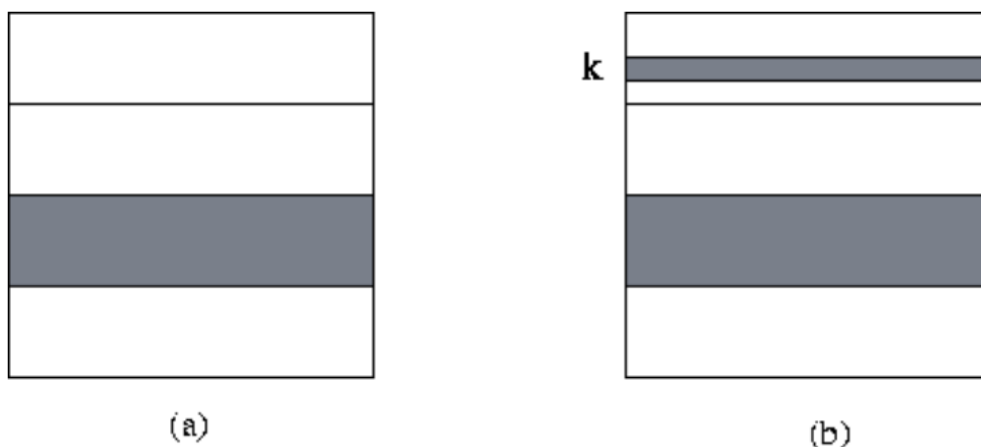
### 4.2.1 První varianta

První variantou je algoritmus paralelizovat pouze v jednom cyklu, který definuje, která řádka je právě zpracovávána. Přidělená data jednomu vláknu zobrazuje obrázek 4. Algoritmus zapisuje pouze do přidělených sloupců, tedy řádků zobrazených v části *a*. Řádek *k* v části *b* využívají všechna vlákna pouze ke čtení, proto zde nedochází ke konfliktům. Tato varianta je implementována.

### 4.2.2 Druhá varianta

Druhou variantou, jak problém paralelizovat je použít původní variantu a přidat paralelizaci zároveň ve vnitřním cyklu, který prochází jednotlivé sloupce matice. V takovém případě by jednomu vláknu byl přidělen jeden nebo více





Obrázek 4: Ukázka dat přidělených jednomu vláknu při paralelizaci jednoho cyklu [1].

necelých řádků ohraničených sloupci. Tato varianta se jeví vhodnější pouze při velkém počtu dostupných vláken, proto není v naší implementaci použita.

### 4.2.3 Vektorizace

Z výpisu 5 je patrné, že v algoritmu Floyd-Warshall je vektorizován pouze jeden cyklus. Z důvodu jednoduchosti algoritmu a absence jednoduchých *for* cyklů se nepodařilo zvektorizovat žádný další cyklus.

## 4.3 Měření

Na obou algoritmech bylo provedeno měření, které si klade za cíl analyzovat čas, zrychlení a efektivitu použitého paralelního algoritmu. Měření bylo prováděno na hustých grafech, kde při generování grafů byla použita pravděpodobnost 0.5, že mezi dvěma uzly existuje hrana.

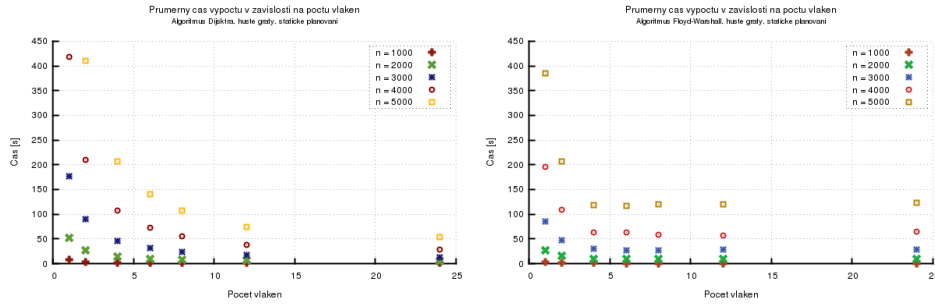
### 4.3.1 Testovací data

Jako testovací data byly vygenerovány grafy s počtem uzlů 1000, 2000, 3000, 4000, 5000. Měření probíhalo na serveru `star2.fit.cvut.cz` na stroji *gpu-02* pro počet vláken 1, 2, 4, 6, 8, 12, 24.

Obrázek 5: Úspěšně vektorizovaný cyklus.

```
floydWarshall.cpp:90: note: vectorizing stmts using SLP.BASIC BLOCK VECTORIZATION
floydWarshall.cpp:90: note: basic block vectorized using SLP
```

```
for ( unsigned k~ = 0; k~ < tmp; k++ ) {
    unsigned i;
    #pragma omp parallel for private( i, novaVzdalenost ) shared( dchudcePredchozi, predchudceAktualni )
    for ( i~ = 0; i~ < tmp; i++ ) {
        for ( unsigned j = 0; j < tmp; j++ ) {
```



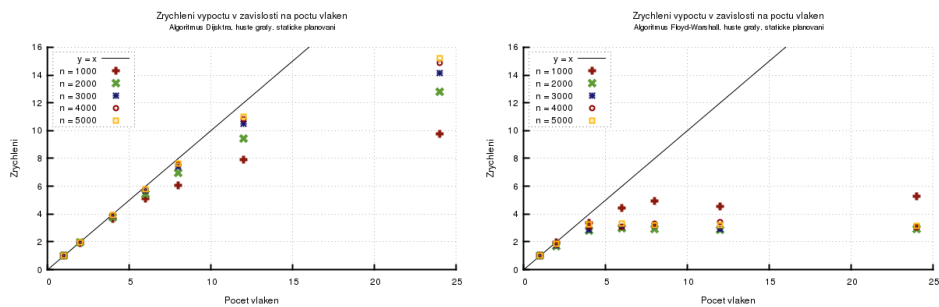
Obrázek 6: Závislost průměrného času výpočtu v závislosti na počtu vláken za použití statického plánování.

#### 4.3.2 Výsledky

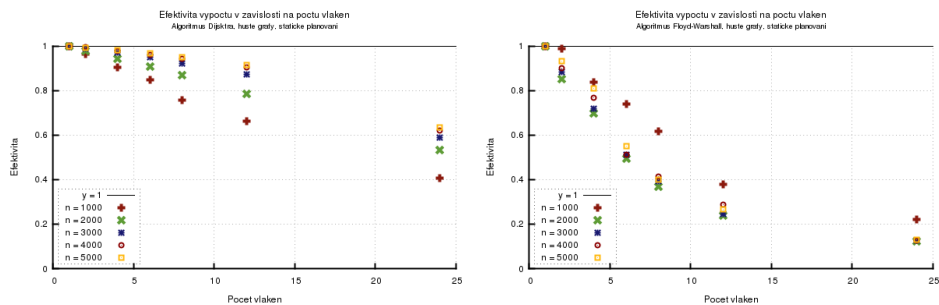
Grafy 6, 7 a 8 ukazují výsledky měření z pohledu času, zrychlení a efektivity.

**Poměr rychlosti algoritmů v závislosti na hustotě grafu** Graf 9 porovnává výpočetní časy při použití statického plánování v závislosti na hustotě grafu. Z grafů vyplývá, že oba algoritmy jsou téměř nezávislé na hustotě grafu.

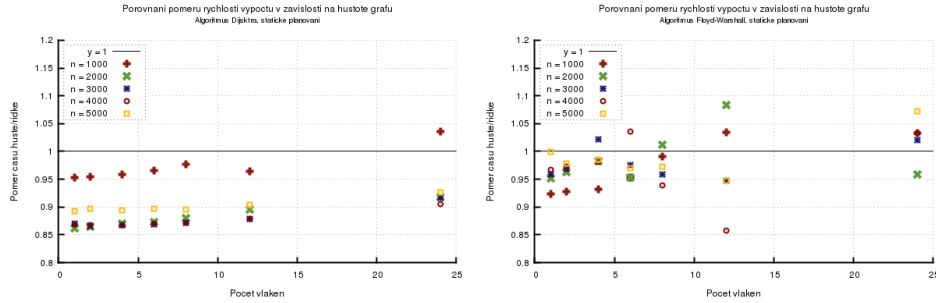
**Poměr rychlosti algoritmů v závislosti na plánování** Graf 10 zobrazuje poměr výpočetních časů v závislosti na použitém plánování. V porovnání byla použita plánování statické a dynamické. Z grafů je patrné, že plánování ovlivní čas výpočtu pouze nevýznamně a není tedy podstatné, jaké plánování



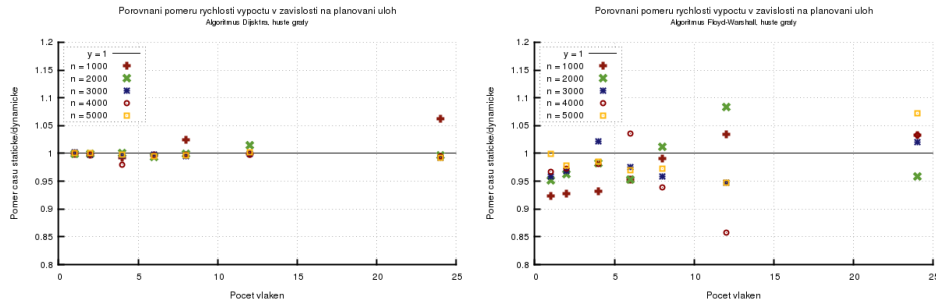
Obrázek 7: Závislost zrychlení paralelního algoritmu oproti sekvenčnímu v závislosti na počtu vláken za použití statického plánování.



Obrázek 8: Závislost efektivity algoritmu v závislosti na počtu vláken za použití statického plánování.



Obrázek 9: Porovnání poměru rychlostí výpočtu v závislosti na hustotě grafu při použití statického plánování.



Obrázek 10: Porovnání poměru rychlostí výpočtu v závislosti na použitém plánování.

je v algoritmu použito.

**Statické plánování** Při statickém plánování se iterace cyklu rovnoměrně rozdělí po blocích mezi všechna vlákna před začátkem provádění cyklu [2].

**Dynamické plánování** Dynamickým plánováním se rozumí rozdělení jednotlivých iterací vláknům po jedné iteraci. Vždy když vlákno dokončí iteraci, je mu přidělena další iterace [2].

### 4.3.3 Analýza

**Dijkstra** U výpočetního času je z grafu 6 je patrná exponenciální závislost, kdy se čas pro větší počet vláken téměř nezkracuje. Zrychlení, které je zobrazeno v grafu 7 na počátku stoupá téměř lineárně a teprve pro velký počet

vláken se zrychlení zmírňuje a křivka dostává logaritmický tvar. Z výše uvedeného vyplývá efektivita, která je zobrazena v grafu 8.

**Floyd-Warshallův algoritmus** U Floyd-Warshallova algoritmu se výpočetní čas pro počty vláken větší než 2 téměř nezkracuje. Zrychlení je tedy patrné pouze při použití 2 případně 4 vlákních. Z výše uvedeného plyne, že efektivita paralelního algoritmu velmi rychle klesá.

#### 4.3.4 Zhodnocení

Efektivita Dijkstrova algoritmu s přidáváním vláken pomalu klesá a například pro 24 vláken dosahuje hodnoty 0.5. Naproti tomu u Floyd-Warshallova algoritmu klesá efektivita mnohem rychleji a na hodnotě 0.5 se nachází už pro 6 vláken.

Výrazně lépe ve prospěch Dijkstrova paralelního algoritmu vycházejí i ostatní ukazatele – zrychlení a čas výpočtu.

Výsledky Floyd-Warshallova algoritmu mohou být způsobeny opakovaným vytvářením a rušením vláken. V každém vnějším cyklu se vytvoří daný počet vláken, zpracuje jeden uzel a všechna tato vytvořená vlákna se opět ukončí. Tedy za běhu algoritmu se vytváří a ruší  $pocet\_uzlu * vlaken$ , kde parametr  $vlaken$  je počet najednou vytvářených paralelních vláken.

## Reference

- [1] Foster, I.: Case Study: Shortest-Path Algorithms. 1995, [cit. 2015-04-13].  
URL <http://www.mcs.anl.gov/~itf/dbpp/text/node35.html>
- [2] Šimeček, I.: Technologie OpenMP. 2014, [cit. 2015-04-14].  
URL [https://edux.fit.cvut.cz/courses/MI-PAP/\\_media/lectures/omp.pdf](https://edux.fit.cvut.cz/courses/MI-PAP/_media/lectures/omp.pdf)
- [3] Šimeček, I.; Šoch, M.: Použití vektorizace v C/C++. 2015, [cit. 2015-04-13].  
URL [https://edux.fit.cvut.cz/courses/MI-PAP/\\_media/lectures/vektORIZACE.pdf](https://edux.fit.cvut.cz/courses/MI-PAP/_media/lectures/vektORIZACE.pdf)
- [4] Mička, P.: Dijkstrův algoritmus. [cit. 2015-04-08].  
URL <http://www.algoritmy.net/article/5108/Dijkstruv-algoritmus>
- [5] Mička, P.: Floyd-Warshallův algoritmus. [cit. 2015-04-08].  
URL <http://www.algoritmy.net/article/5207/Floyd-Warshalluv-algoritmus>
- [6] Mička, P.: Problém nejkratší cesty. [cit. 2015-04-08].  
URL <http://www.algoritmy.net/article/36597/Nejkratsi-cesta>